

# Starkniederschlagshöhen und -spenden gemäß KOSTRA-DWD-2020

## Rasterfeld 126150

(Zeile 126, Spalte 150)

### Regenspende und Bemessungsniederschlagswerte in Abhängigkeit von Wiederkehrzeit T und Dauerstufe D

| Dauerstufe D |     | Wiederkehrzeit T |            |      |            |       |            |       |            |       |            |       |            |       |            |       |            |       |            |
|--------------|-----|------------------|------------|------|------------|-------|------------|-------|------------|-------|------------|-------|------------|-------|------------|-------|------------|-------|------------|
|              |     | 1 a              |            | 2 a  |            | 3 a   |            | 5 a   |            | 10 a  |            | 20 a  |            | 30 a  |            | 50 a  |            | 100 a |            |
| min          | Std | mm               | l / (s ha) | mm   | l / (s ha) | mm    | l / (s ha) | mm    | l / (s ha) | mm    | l / (s ha) | mm    | l / (s ha) | mm    | l / (s ha) | mm    | l / (s ha) | mm    | l / (s ha) |
| 5            |     | 6,9              | 230,0      | 8,5  | 283,3      | 9,5   | 316,7      | 10,8  | 360,0      | 12,6  | 420,0      | 14,6  | 486,7      | 15,8  | 526,7      | 17,5  | 583,3      | 19,8  | 660,0      |
| 10           |     | 8,9              | 148,3      | 10,9 | 181,7      | 12,2  | 203,3      | 13,8  | 230,0      | 16,2  | 270,0      | 18,7  | 311,7      | 20,3  | 338,3      | 22,5  | 375,0      | 25,5  | 425,0      |
| 15           |     | 10,2             | 113,3      | 12,5 | 138,9      | 14,0  | 155,6      | 15,9  | 176,7      | 18,6  | 206,7      | 21,5  | 238,9      | 23,3  | 258,9      | 25,8  | 286,7      | 29,3  | 325,6      |
| 20           |     | 11,2             | 93,3       | 13,8 | 115,0      | 15,4  | 128,3      | 17,5  | 145,8      | 20,5  | 170,8      | 23,6  | 196,7      | 25,7  | 214,2      | 28,4  | 236,7      | 32,2  | 268,3      |
| 30           |     | 12,8             | 71,1       | 15,7 | 87,2       | 17,5  | 97,2       | 19,9  | 110,6      | 23,4  | 130,0      | 26,9  | 149,4      | 29,3  | 162,8      | 32,3  | 179,4      | 36,7  | 203,9      |
| 45           |     | 14,5             | 53,7       | 17,9 | 66,3       | 19,9  | 73,7       | 22,7  | 84,1       | 26,6  | 98,5       | 30,7  | 113,7      | 33,3  | 123,3      | 36,8  | 136,3      | 41,8  | 154,8      |
| 60           | 1   | 15,9             | 44,2       | 19,6 | 54,4       | 21,8  | 60,6       | 24,8  | 68,9       | 29,1  | 80,8       | 33,6  | 93,3       | 36,5  | 101,4      | 40,3  | 111,9      | 45,7  | 126,9      |
| 90           | 1,5 | 18,0             | 33,3       | 22,2 | 41,1       | 24,8  | 45,9       | 28,2  | 52,2       | 33,1  | 61,3       | 38,1  | 70,6       | 41,4  | 76,7       | 45,7  | 84,6       | 51,9  | 96,1       |
| 120          | 2   | 19,7             | 27,4       | 24,3 | 33,8       | 27,1  | 37,6       | 30,8  | 42,8       | 36,2  | 50,3       | 41,7  | 57,9       | 45,3  | 62,9       | 50,0  | 69,4       | 56,8  | 78,9       |
| 180          | 3   | 22,4             | 20,7       | 27,6 | 25,6       | 30,8  | 28,5       | 35,0  | 32,4       | 41,0  | 38,0       | 47,3  | 43,8       | 51,4  | 47,6       | 56,7  | 52,5       | 64,4  | 59,6       |
| 240          | 4   | 24,5             | 17,0       | 30,1 | 20,9       | 33,6  | 23,3       | 38,2  | 26,5       | 44,8  | 31,1       | 51,7  | 35,9       | 56,2  | 39,0       | 62,0  | 43,1       | 70,4  | 48,9       |
| 360          | 6   | 27,7             | 12,8       | 34,1 | 15,8       | 38,1  | 17,6       | 43,3  | 20,0       | 50,8  | 23,5       | 58,6  | 27,1       | 63,6  | 29,4       | 70,3  | 32,5       | 79,8  | 36,9       |
| 540          | 9   | 31,4             | 9,7        | 38,7 | 11,9       | 43,2  | 13,3       | 49,1  | 15,2       | 57,6  | 17,8       | 66,4  | 20,5       | 72,1  | 22,3       | 79,7  | 24,6       | 90,4  | 27,9       |
| 720          | 12  | 34,3             | 7,9        | 42,3 | 9,8        | 47,2  | 10,9       | 53,6  | 12,4       | 62,9  | 14,6       | 72,5  | 16,8       | 78,8  | 18,2       | 87,0  | 20,1       | 98,8  | 22,9       |
| 1080         | 18  | 38,9             | 6,0        | 47,9 | 7,4        | 53,5  | 8,3        | 60,8  | 9,4        | 71,3  | 11,0       | 82,2  | 12,7       | 89,3  | 13,8       | 98,6  | 15,2       | 112,0 | 17,3       |
| 1440         | 24  | 42,5             | 4,9        | 52,3 | 6,1        | 58,4  | 6,8        | 66,4  | 7,7        | 77,9  | 9,0        | 89,8  | 10,4       | 97,6  | 11,3       | 107,7 | 12,5       | 122,3 | 14,2       |
| 2880         | 48  | 52,6             | 3,0        | 64,8 | 3,8        | 72,3  | 4,2        | 82,2  | 4,8        | 96,4  | 5,6        | 111,1 | 6,4        | 120,8 | 7,0        | 133,4 | 7,7        | 151,4 | 8,8        |
| 4320         | 72  | 59,6             | 2,3        | 73,4 | 2,8        | 81,9  | 3,2        | 93,1  | 3,6        | 109,3 | 4,2        | 125,9 | 4,9        | 136,8 | 5,3        | 151,1 | 5,8        | 171,5 | 6,6        |
| 5760         | 96  | 65,1             | 1,9        | 80,2 | 2,3        | 89,5  | 2,6        | 101,7 | 2,9        | 119,4 | 3,5        | 137,5 | 4,0        | 149,5 | 4,3        | 165,1 | 4,8        | 187,4 | 5,4        |
| 7200         | 120 | 69,7             | 1,6        | 85,9 | 2,0        | 95,8  | 2,2        | 109,0 | 2,5        | 127,8 | 3,0        | 147,3 | 3,4        | 160,1 | 3,7        | 176,8 | 4,1        | 200,7 | 4,6        |
| 8640         | 144 | 73,8             | 1,4        | 90,8 | 1,8        | 101,4 | 2,0        | 115,2 | 2,2        | 135,2 | 2,6        | 155,8 | 3,0        | 169,3 | 3,3        | 187,0 | 3,6        | 212,3 | 4,1        |
| 10080        | 168 | 77,3             | 1,3        | 95,2 | 1,6        | 106,3 | 1,8        | 120,8 | 2,0        | 141,8 | 2,3        | 163,4 | 2,7        | 177,5 | 2,9        | 196,1 | 3,2        | 222,6 | 3,7        |

# Starkniederschlagshöhen und -spenden gemäß KOSTRA-DWD-2020

## Rasterfeld 126150

(Zeile 126, Spalte 150)

### Örtliche Unsicherheiten in Abhängigkeit von Wiederkehrzeit T und Dauerstufe D

| Dauerstufe D |     | Wiederkehrzeit T |     |     |     |      |      |      |      |       |
|--------------|-----|------------------|-----|-----|-----|------|------|------|------|-------|
|              |     | 1 a              | 2 a | 3 a | 5 a | 10 a | 20 a | 30 a | 50 a | 100 a |
| min          | Std | ± %              | ± % | ± % | ± % | ± %  | ± %  | ± %  | ± %  | ± %   |
| 5            |     | 15               | 16  | 17  | 18  | 18   | 19   | 19   | 20   | 20    |
| 10           |     | 18               | 20  | 21  | 21  | 22   | 23   | 23   | 24   | 24    |
| 15           |     | 19               | 21  | 22  | 23  | 24   | 25   | 25   | 25   | 26    |
| 20           |     | 20               | 22  | 22  | 23  | 24   | 25   | 26   | 26   | 27    |
| 30           |     | 20               | 22  | 23  | 24  | 25   | 25   | 26   | 26   | 27    |
| 45           |     | 19               | 21  | 22  | 23  | 24   | 25   | 25   | 26   | 26    |
| 60           | 1   | 19               | 21  | 22  | 23  | 24   | 24   | 25   | 25   | 26    |
| 90           | 1,5 | 18               | 20  | 20  | 21  | 22   | 23   | 24   | 24   | 25    |
| 120          | 2   | 17               | 19  | 20  | 21  | 22   | 22   | 23   | 23   | 24    |
| 180          | 3   | 15               | 17  | 18  | 19  | 20   | 21   | 21   | 22   | 22    |
| 240          | 4   | 14               | 16  | 17  | 18  | 19   | 20   | 20   | 21   | 21    |
| 360          | 6   | 13               | 15  | 16  | 17  | 18   | 18   | 19   | 19   | 20    |
| 540          | 9   | 12               | 14  | 15  | 15  | 16   | 17   | 18   | 18   | 18    |
| 720          | 12  | 12               | 13  | 14  | 15  | 16   | 16   | 17   | 17   | 18    |
| 1080         | 18  | 11               | 13  | 13  | 14  | 15   | 15   | 16   | 16   | 16    |
| 1440         | 24  | 11               | 12  | 13  | 13  | 14   | 15   | 15   | 15   | 16    |
| 2880         | 48  | 12               | 13  | 13  | 13  | 14   | 14   | 14   | 15   | 15    |
| 4320         | 72  | 14               | 13  | 13  | 14  | 14   | 14   | 14   | 15   | 15    |
| 5760         | 96  | 15               | 14  | 14  | 14  | 14   | 15   | 15   | 15   | 15    |
| 7200         | 120 | 15               | 15  | 15  | 15  | 15   | 15   | 15   | 15   | 15    |
| 8640         | 144 | 16               | 15  | 15  | 15  | 15   | 15   | 15   | 15   | 16    |
| 10080        | 168 | 17               | 16  | 16  | 16  | 16   | 16   | 16   | 16   | 16    |

### Parameter für abweichende T und D

#### Lokationsparameter $\xi$ (Xi)

16,01224218

#### Skalenparameter $\alpha$ (Alpha)

5,14372161

#### Formparameter $\kappa$ (Kappa)

-0,1

#### 1. Koutsoyiannis-Parameter $\theta$ (Theta)

0,00991916

#### 2. Koutsoyiannis-Parameter $\eta$ (Eta)

0,69249883

Parameter für dauerstufenübergreifende Extremwertschätzung nach KOUTSOYIANNIS et al. 1998.

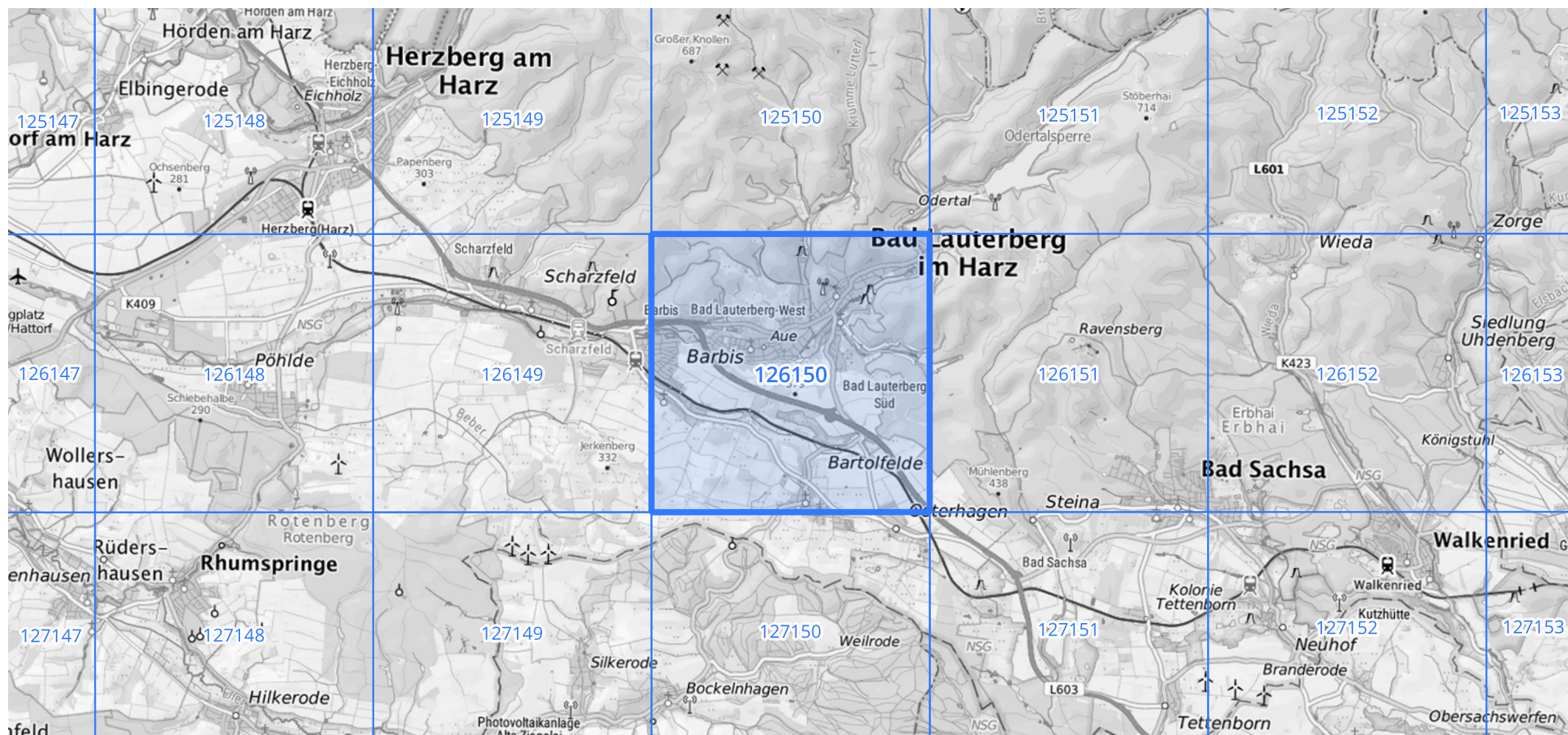
Siehe auch Anwendungshilfe zu KOSTRA-DWD-2020 des Deutschen Wetterdienstes.

## Starkniederschlagshöhen und -spenden gemäß KOSTRA-DWD-2020

## Rasterfeld 126150

(Zeile 126, Spalte 150)

## Übersichtskarte des Rasterfeldes 126150, M 1 : 100 000



Quelle Rasterdaten: KOSTRA-DWD-2020 des Deutschen Wetterdienstes, Stand 12/2022.

Seite 3 von 3

Kartendarstellung: © Bundesamt für Kartographie und Geodäsie (2023), Datenquellen: [https://sgx.geodatenzentrum.de/web\\_public/gdz/datenquellen/Datenquellen\\_TopPlusOpen.html](https://sgx.geodatenzentrum.de/web_public/gdz/datenquellen/Datenquellen_TopPlusOpen.html)

Für die Richtigkeit und Aktualität der Angaben wird keine Gewähr übernommen. Erstellt 01/2023.